

УДК 530

ДВУХМЕРНАЯ МОДЕЛЬ СТРУКТУРЫ МАТЕРИАЛА В ПРОЦЕССЕ НАНОИНДЕНТИРОВАНИЯ

© В.Б. Мачихин, А.А. Арзамасцев

Machikhin V.B., Arzamaststev A.A. A two-dimensional model of material structure under nanoindentation. A computerised model is proposed that allows circumscribing the process of inculcating a nanoindentor in material. The model is based on the employment of the methods of molecular dynamics and the Verle algorithm in high-speed form. A plane (i.e. two-dimensional) case was considered on the greed of elements 14×14 corresponding with an area of 1,6×1,6 nm. The results of the simulation proved to be consistent with the experimental investigations of nanoindentation processes carried out earlier by others.

Наноинтентирирование (depth sensing testing) – это метод исследования механических свойств различных материалов (например, тонких пленок, покрытий, небольших объектов и т. д.), путем вдавливания в исследуемый объект индентора на глубину до 0,1–1 нм [1].

В наномасштабе значительно меняются как сами свойства материала, так и представления о происходящих явлениях и процессах [2]. Так, окончательно не выяснено, какие атомные механизмы массопереноса определяют размер отпечатка, какова структура материала подnanoиндентором, микромеханизмы упрочнения, контролирующие сопротивление внедрению nanoиндентора, а также какова природа частичного или полного восстановления отпечатка после снятия нагрузки [2–4].

Основные проблемы при nanoиндентировании заключаются в определении связи указанных процессов с другими фундаментальными характеристиками материалов, а также в необходимости извлечения информации о свойствах объектов из результатов nanoиндентирования (кривых нагружения–разгрузки, результатов многократных нагрузений и т. д.)

Очевидно, что в решении этих задач может оказаться полезным воспользоваться компьютерным моделированием, которое в последнее время становится эффективным методом исследования в физике твердого тела [5–13]. С помощью этого метода исследовали: механизм перехода однородного кристалла аргона [5], процессы зарождения дефектов в монокристаллах [6, 7], а также пластическую деформацию монокристаллов алюминия [8].

Большая часть опубликованных работ, посвященных моделированию nanoиндентирования, направлена на определение механических свойств [5–6]. Модель применяют для проверки гипотезы о частично отобранных правилах зародышобразования при пластической деформации [9]. При использовании квазинепрерывного метода были выявлены микромеханизмы, влияющие на результаты, получаемые при nanoиндентировании в тонких пленках, которые зависят от геометрии nanoиндентора и ориентации материала [12]. С

помощью численного моделирования установлено, что макроскопическое поведение пластической неустойчивости, обусловленное эффектом Портевена – Ле Шателье, определяется коллективными процессами, связанными с дальнодействующим взаимодействием дислокаций, приводящими к динамическим эффектам мезоскопического масштаба [13].

Визуализация изменения положений атомов материала при nanoиндентировании позволила бы дополнить имеющиеся работы в этой области.

Целью данной работы является разработка компьютерной модели, использующей метод молекулярной динамики и позволяющей визуализировать изменение структуры материала в процессе внедрения в него nanoиндентора.

ОБЪЕКТ ИССЛЕДОВАНИЯ

В качестве объекта моделирования выбран аргон, обладающий достаточно простыми и изученными свойствами, что позволило использовать его для аналогичных целей в ряде работ [14, 16]. Основные параметры аргона, используемые в модели, приведены в табл. 1. Здесь σ – межатомное расстояние. Параметр ε имеет размерность энергии и равен минимуму потенциальной энергии при $r_0 = \sqrt[6]{\sigma}$. Масса аргона $6,69 \cdot 10^{-23}$ г. Моделируемый объект в нормальных условиях представляет собой газ, но при температуре ниже 80–90 К переходит в твердое состояние.

Таблица 1

Теоретические и экспериментальные значения
параметров, характеризующих потенциал
Леннарда – Джонса и энергии сцепления Ar [17]

Кри- сталл	$\sigma \cdot 10^{-1}$, нм	$r_0 \cdot 10^{-1}$, нм		ε , эВ	$U_0 = -8,6\varepsilon$, эВ	U_0 , эВ
	(эксп.)	(теор.)	(эксп.)	(теор.)	(эксп.)	
Ar	3,40	3,75	3,71	0,0104	-0,089	-0,08

МАТЕМАТИЧЕСКАЯ МОДЕЛЬ

При разработке модели приняты следующие основные допущения:

1. Атомы представляют собой несжимаемые шары.
2. Рассматривается двумерный случай. Такая ситуация может иметь место, например, в тонких пленках.
3. Наноиндентор представляет собой прямоугольный треугольник (пирамидальный индентор).
4. Динамика движения атомов подчиняется классическим законам Ньютона.
5. Сила тяжести на несколько порядков меньше силы взаимодействия между атомами, и ее можно пренебречь.
6. Усредненная температура модельной области в отдельном вычислительном эксперименте постоянна.
7. Стены модельной области являются абсолютно упругими.
8. Соударения атомов со стенками и с наноиндентором – абсолютно упругие.
9. Силовое взаимодействие между всеми атомами является ван-дер-ваальсовым.

Модель, построенная с учетом принятых допущений, представляет собой квадратную плоскую область с расположенными на ней $14 \times 14 = 196$ атомами, заданными координатами центров. Координаты всех атомов и среднеквадратичная скорость их движения в начальный момент времени задаются исследователем. Направления движения атомов в начальный момент времени рандомизированы. Температура модельной области вычисляется по уравнению

$$T = \frac{\sum \frac{1}{2} \langle m \cdot v_i^2 \rangle}{\frac{1}{2} N k_B},$$

где k_B – постоянная Больцмана, N – количество атомов, m – масса атома, v_i – скорость, скобки $\langle \dots \rangle$ обозначают усреднение по времени.

Потенциальная энергия взаимодействия двух частиц описывается с помощью потенциала Леннарда –

$$\text{Джонса, } U = 4\epsilon \left[\left(\frac{\sigma}{r_{ij}} \right)^{12} - \left(\frac{\sigma}{r_{ij}} \right)^6 \right], \text{ где } r_{ij} \text{ – расстоя-}$$

ние между i и j атомами соответственно.

Для удобства в модели выражали длины, энергию и массу в единицах σ , ϵ , m , где m – масса частиц.

Скорости измеряли в единицах $\left(\frac{\epsilon}{m} \right)^{1/2}$, а время – в

единицах $\tau = (m \cdot \sigma^2 \cdot \epsilon)^{1/2}$ – модельное время. Используя табл. 1, получили $\tau = 1,82 \cdot 10^{-12}$ с.

В процессе моделирования координаты всех атомов и их скорости изменяются в соответствии с системой разностных уравнений, представляющих собой алгоритм Верле в скоростной форме [16]:

$$x_{n+1} = x_n + \vartheta_n \cdot \Delta t + \frac{1}{2} \cdot a_n \cdot (\Delta t)^2$$

$$\vartheta_{n+1} = \vartheta_n + \frac{1}{2} \cdot (a_{n+1} + a_n) \cdot \Delta t,$$

здесь новая координата x_{n+1} вычисляется с использованием не только скорости ϑ_n , но и ускорения a_n , т. е. алгоритм обладает высоким порядком по Δt (глобальная погрешность имеет третий порядок для координаты и второй порядок для скорости); новая координата используется для нахождения нового ускорения a_{n+1} , которое вместе с a_n используется для получения новой скорости ϑ_{n+1} . Данный алгоритм является самостартующим.

Правильность и надежность данного алгоритма предварительно тестировали на задачах качественного соответствия модели поведению реального объекта при броуновском движении и фазовых переходах.

РЕЗУЛЬТАТЫ И ИХ ОБСУЖДЕНИЕ

В компьютерных экспериментах по определению структуры моделируемого вещества в твердом состоянии начальную температуру системы и скорость всех частиц принимали равными нулю (см. рис. 1а).

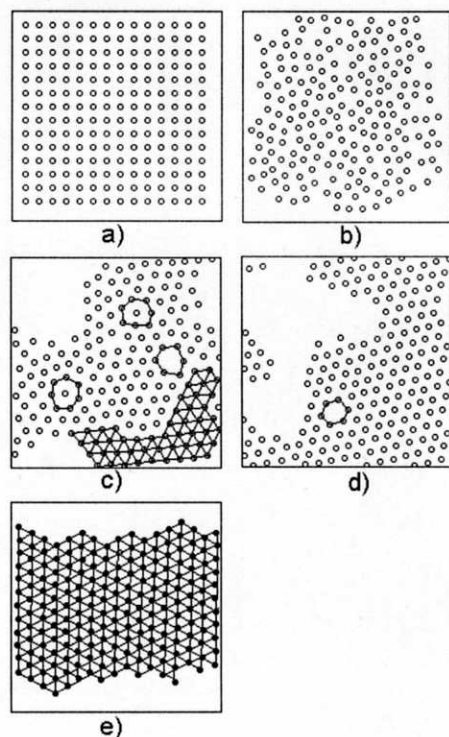


Рис. 1. Визуализация вычислительного эксперимента: а) начальное состояние объекта – кристалл с идеальной квадратной решеткой; б) исследуемый объект находится в газообразном состоянии; в) структура объекта при сверхбыстром охлаждении – моделируемое вещество «распадается» на три фазы: кристаллическую, аморфную и фазу свободного объема; д) структура объекта при медленном охлаждении – кристалл с вкраплением аморфной фазы и фазы свободного объема; е) объект в твердом состоянии

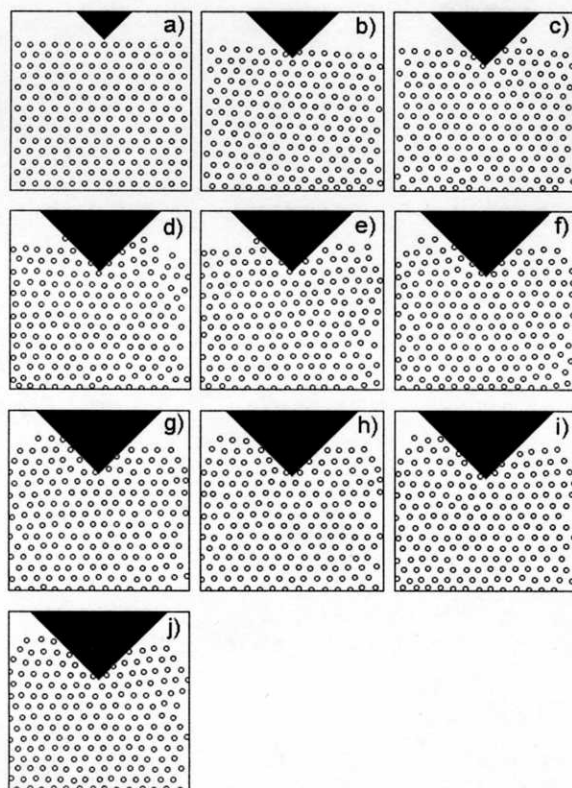


Рис. 2. Визуализация компьютерного эксперимента: изменение структуры моделируемого объекта при постоянной нагрузке

Первая серия вычислительных экспериментов была направлена на определение качественного соответствия основной феноменологии, характерной для известных веществ и результатов моделирования. В начальный момент времени атомы помещали в узлы идеальной квадратной решетки, а их скорости принимали равными нулю, что соответствовало 0 К (рис. 1а). Несмотря на то, что такое начальное состояние не соответствует никакому реальному случаю, оно выбрано в качестве исходного по двум причинам: в ходе экспериментов было отмечено, что рассматриваемая система практически «не запоминает» начального состояния, а последующие структуры объектов зависят лишь от условий взаимодействия атомов между собой и со стенками модельной области; удобство проведения вычислительного эксперимента и задания начальных условий.

В дальнейшем скорость движения атомов линейно увеличивали со временем, что соответствовало «нагреву» объекта, так что положение атомов через некоторое время имело вид, показанный на рис. 1б. Видно, что в результате «нагревания» объект из состояния (рис. 1а), характеризующегося упорядоченной структурой, перешел в состояние (рис. 1б), характеризуемое рандомизированной структурой, что соответствует переходу вещества в газообразное состояние. Из этого состояния вещество подвергали «сверхбыстрому охлаждению». В модели это соответствовало уменьшению скорости движения частиц на каждом шаге модельного времени. Через некоторое время система переходит в состояние, показанное на рис. 1с, – «распадается» на

три фазы: кристаллическую, аморфную и фазу свободного объема, что в соответствующих условиях наблюдается и для реальных веществ.

Из состояния газа (рис. 1б) осуществляли также «медленное охлаждение» – его скорость была в 20 раз меньше, чем при быстром охлаждении. При таком воздействии объект через некоторое время приходит в состояние, показанное на рис. 1д, – кристалл с вкраплением аморфной фазы и фазы свободного объема. Когда систему атомов изолируют от внешних воздействий, т. е. предоставляют самой себе, то она переходит из первоначального состояния, показанного на рис. 1а, в состояние (рис. 1е) с треугольной решеткой. Это объясняется тем, что вещество в неравновесном состоянии стремится занять положение с минимальной потенциальной энергией.

Приведенные предварительные вычислительные эксперименты показали, что компьютерная модель правильно описывает основную феноменологию, наблюдающуюся в реальных объектах, что позволило использовать ее для исследований процессов наноиндиентирования.

В следующих компьютерных экспериментах среднюю скорость движения атомов в модели поддерживали постоянной, что соответствует постоянству температуры модельной области.

Во второй серии вычислительных экспериментов моделировался процесс наноиндиентирования, в котором испытательная нагрузка была постоянной. В начальный момент времени атомы помещали в узлы идеальной треугольной решетки (рис. 2а). При внедрении наноиндентора атомы, которые находятся под ним,

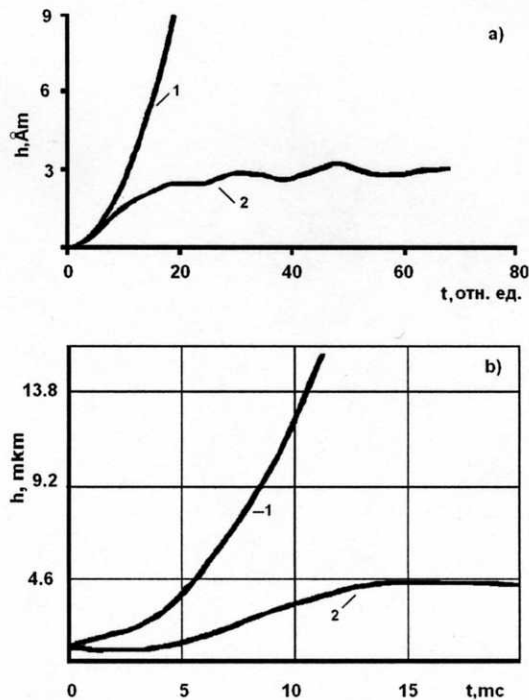


Рис. 3. Кинетика перемещения наноиндентора при постоянной нагрузке. Без образца (1) и с образцом (2): а) вычислительный эксперимент; по оси абсцисс – модельное время в относительных единицах; по оси ординат – глубина погружения наноиндентора; б) данные, полученные при микрондентировании HCl на экспериментальной установке [2]

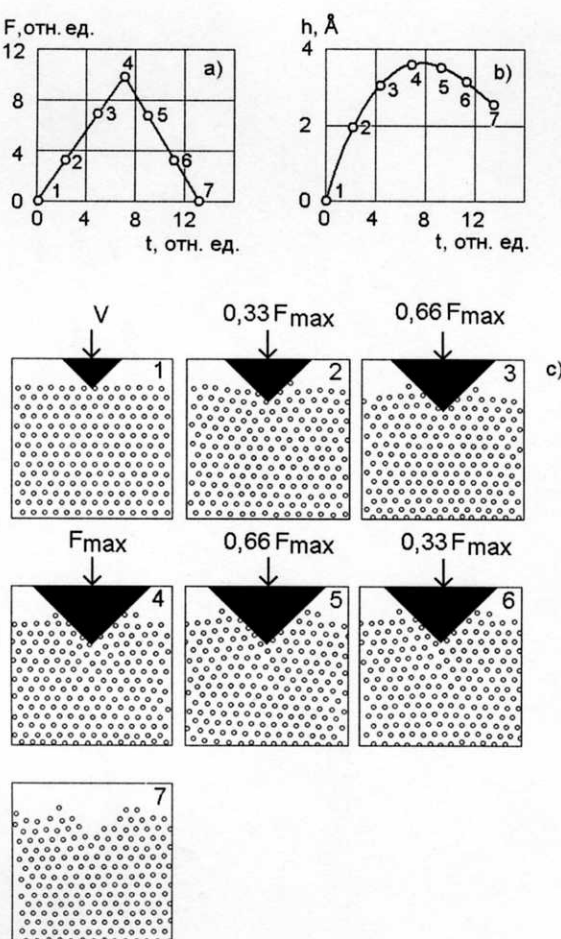


Рис. 4. Визуализация виртуального эксперимента при переменной нагрузке (метод кинетической твердости): а) – зависимость нагрузки от времени; б) – зависимость глубины погружения индентора от времени; в) – изменение структуры моделируемого объекта (цифры 1–7 соответствуют точкам на графиках а, б)

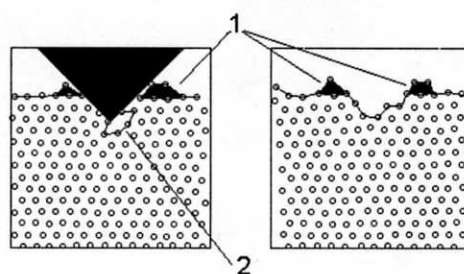


Рис. 5. Области образования навалов (1) и разрыхления (2)

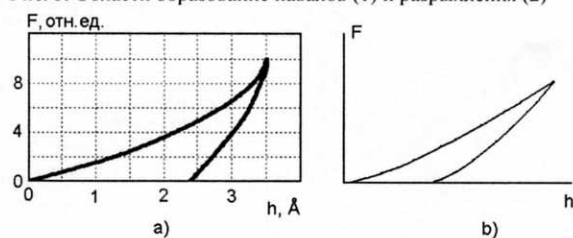


Рис. 6. Зависимости нагрузка – глубина проникновения наноиндентора при нагружении и разгрузке: а) в компьютерном эксперименте; б) в реальных условиях для ZnO_2 [2]

перемещаются на поверхность, образуя так называемые «навалы» (рис. 2с – 2j). В процессе моделирования получены рисунки, из которых видно, что в объеме примыкающие к наноиндентору атомы уплотняются (рис. 2с – 2j), т. е. появляются межузельные атомы, а в зоне остряя наноиндентора образуются области разрыхления (рис. 2е, 2г, 2h), т. е. вакансии; в основной же части структура материала не изменяется (рис. 2б – 2j).

В реальных твердых телах при таких же условиях обычно появляются дислокации, которые при моделировании не обнаруживаются. По всей видимости, это можно связать с тем, что в вычислительном эксперименте рассматривалось малое число частиц; наноиндентор погружался только на несколько атомных слоев.

В этих же вычислительных экспериментах регистрировалась глубина погружения индентора во времени. Полученный график $h(t)$ (рис. 3а) имеет качественное сходство с экспериментальными зависимостями, полученными при индентировании HCl (рис. 3б) [2].

Из графика (рис. 3а) видно, что при прекращении погружения наноиндентора он окончательно не останавливается, а совершает затухающие колебания относительно положения равновесия. В реальных системах данное явление не зафиксировано из-за существенно большего различия масс наноиндентора и моделируемого материала.

Третью серию компьютерных экспериментов проводили с использованием метода кинетической твердости [2].

На рисунках показано изменение структуры моделируемого вещества (рис. 4с). Из них видно, что при внедрении наноиндентора образуются «навалы» (рис. 4с) (2–7) и рис. 5 (1), а у кончика наноиндентора – область разрыхления (рис. 4с) (4) и рис. 5 (2), которая постепенно исчезает при снятии нагрузки (рис. 4с) (7). В основной же части кристалла расположение атомов не изменилось (рис. 4с) (1–7).

Получены также зависимости приложенной силы и глубины внедрения наноиндентора от времени $F(t)$ (рис. 4а)) и $h(t)$ (рис. 4б)) и изменения нагрузки от погружения наноиндентора $F(h)$ (рис. 6а). График, показанный на рис. 6а, имеет вид, качественно схожий с экспериментальными данными (рис. 6б).

Таким образом, полученные результаты моделирования оказались непротиворечивыми по отношению к экспериментальным исследованиям процессов наноиндентирования, проведенным ранее другими авторами. Данную модель можно использовать для объяснения феноменов, характерных для этого процесса.

ЛИТЕРАТУРА

- Oliver W.C., Pharr G.M. An improved technique for determining hardness and elastic modulus using load and displacement sensing indentation experiments // J. Mater. Research. 1992. V. 7. № 6. P. 1564-1583.
- Головин Ю.И., Иволгин В.И., Коренков В.В., Коренкова Н.В., Рябко Р.И. Определение комплекса механических свойств материалов вnanoобъемах методами наноиндентирования // Конденсированные среды и межфазные границы. 2001. Т. 3. № 2. С. 122-135.
- Головин Ю.И., Тюрик А.И. Недислакционная пластичность и ее роль в массопереносе и формировании отпечатка при динамическом индентировании // ФТТ. 2000. Т. 42. № 10. С. 1818-1820.
- Головин Ю.И., Тюрик А.И. Современные проблемыnano- и микротвердости твердых тел. Тамбов: Изд-во ТГУ, 2000. 42 с. (Препринт.)

5. Дмитриев С.В., Овчаров А.А., Старастенков М.Д., Козлов Э.В. Механизм перехода однородного кристалла аргона // ФТТ. 1996. Т. 38. Вып. 6. С. 1805-1811.
6. Шудегов В.Е., Лобастов А.И., Лихачев В.А. и др. Процессы зарождения дефектов в монокристаллах // ФТТ. 1995. Т. 65. Вып. 6. С. 94-101.
7. Лобастов А.И., Шудегов В.Е., Чудинов В.Г. Процессы зарождения дефектов в монокристаллах // ЖТФ. 1997. Т. 67. Вып. 12. С. 100-102.
8. Лобастов А.И., Шудегов В.Е., Чудинов В.Г. Пластическая деформация монокристаллов алюминия в компьютерном эксперименте // ЖТФ. 2000. Т. 70. Вып. 4. С. 123-127.
9. Robertson C.F., Fivel M.C. A study of the submicron indent-induced plastic deformation // J. of Mater. Research. 1999. V. 14. № 6. С. 2251-2257.
10. Лагунов В.А., Синанин А.Б. Образование биструктуры твердого тела в компьютерном эксперименте // ФТТ. 1998. Т. 40. Вып. 10. С. 1919-1925.
11. La Fontaine W.R. Yost B., Black R.D., Li C.Y. Indentation load relaxation experiment with indentation depth in the submicrone range // J. of Mater. Research. 1990. V. 5. № 10. P. 2100-2106.
12. Tadmor E.B., Miller R., Phillips R., Ortiz M. Nanoindentation and incipient plasticity // J. of Mater. Research. 1999. V. 14. № 6. С. 2233-2249.
13. Лебедкин М.А., Дунин-Барковский Л.Р. Динамический механизм температурной зависимости эффекта Портевена – Ле Шателье // ФТТ. 1998. Т. 40. № 3. С. 487-492.
14. Лагунов В.А., Синанин А.Б. Компьютерное моделирование формирования кристаллической структуры при переходе из аморфного состояния // ФТТ. 2000. Т. 42. Вып. 10. С. 1087-1091.
15. Дмитриев С.В., Овчаров А.А., Старастенков М.Д., Козлов Э.В. Механизм перехода однородного кристалла аргона // ФТТ. 1996. Т. 38. Вып. 6. С. 1805-1811.
16. Гулд Х., Тобочник Я. Компьютерное моделирование в физике: В 2 ч. Ч. 1: Пер. с англ. М.: Мир, 1990. 349 с.
17. Bernardes N. // Phys. Rew. 1958. V. 112. P. 1534.

Поступила в редакцию 22 сентября 2003 г.